



Simulation von Festkörpern mit orientierten Partikeln

basierend auf dem Paper „Solid Simulation with Oriented Particles“
von Matthias Müller & Nuttapong Chentanez (2012)

Michael Wolff, Institut für Informatik, Georg-August-Universität Göttingen

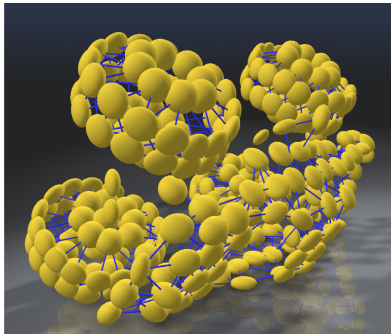
28. Januar 2014

- 1 Einführung
- 2 Verallgemeinertes Shape Matching (SM)
- 3 Verallgemeinerte positionsbasierte Dynamiken (PBD)
- 4 Simulationsmodell
- 5 Kollisionsbewältigung
- 6 Skinning des visuellen Gitternetzes
- 7 Simulationsframework
- 8 Ergebnisse
- 9 Fazit



Einführung

Worum geht's?



Einführung



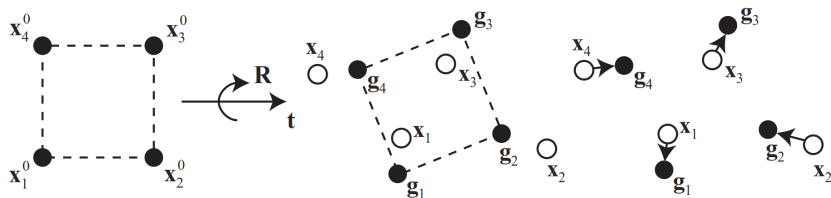
Was bringt die zusätzliche Information?

- ① Partikel mit anisotropischen Formen approximieren
Oberflächen besser als Sphären
- ② Shape Matching (SM) auch für dünne Strukturen wie Ketten
robust
- ③ Transformationen, die die Partikel speichern können für robustes
Skinning und zur Rücktransformation in den Ruhezustand
verwendet werden

Verallgemeinertes Shape Matching



Was ist Shape Matching?



1. Passe Originalform x_i^0 an deformierte Form x_i an
2. Verschiebe deformierte Punkte x_i in Richtung der angepassten Form g_i
(\rightarrow goal positions)

Verallgemeinertes Shape Matching



Gegeben n Partikel mit ...

- Ruheposition $\bar{\mathbf{x}}_i$
- Aktueller Position \mathbf{x}_i
- Masse m_i

... suche nach ...

- Globaler Translation \mathbf{t}
- Rotation \mathbf{R}

... welche sich optimal an die aktuellen Positionen annähern

Verallgemeinertes Shape Matching



Berechne dafür Matrix \mathbf{A} der Form:

$$\mathbf{A} = \sum_i m_i (\mathbf{x}_i - \mathbf{c})(\bar{\mathbf{x}}_i - \bar{\mathbf{c}})^T \in \mathbb{R}^{3 \times 3} \quad (1)$$

... mit den Massezentren:

$$\mathbf{c} = \sum_i m_i \mathbf{x}_i / \sum_i m_i$$

$$\bar{\mathbf{c}} = \sum_i m_i \bar{\mathbf{x}}_i / \sum_i m_i$$

$\bar{\mathbf{x}}_i \rightarrow$ Ruheposition

$\mathbf{x}_i \rightarrow$ Akt. Position

$m_i \rightarrow$ Masse

$\mathbf{t} \rightarrow$ Translation

$\mathbf{R} \rightarrow$ Rotation

Verallgemeinertes Shape Matching



Die Polarzerlegung $\mathbf{A} = \mathbf{R}\mathbf{S}$ ergibt die optimale Rotation ...
 ... und für die Translation gilt $\mathbf{t} = \mathbf{c} - \bar{\mathbf{c}}$...
 ... woraus sich die Zielposition für jeden Partikel berechnet:

$$\mathbf{g}_i = \mathbf{R}(\bar{\mathbf{x}}_i - \bar{\mathbf{c}}) + \mathbf{c}$$

Problem: Wenn Partikel nahezu koplanar/kolinaer sind, so ist \mathbf{A} schlecht konditioniert oder singulär

→ \mathbf{R} ist **nicht** wohldefiniert!

→ Nutze Orientierungsinformationen!

$\bar{\mathbf{x}}_i$ → Ruheposition

\mathbf{x}_i → Akt. Position

m_i → Masse

\mathbf{c} → Massezentrum

\mathbf{t} → Translation

\mathbf{R} → Rotation

Verallgemeinertes Shape Matching



Annahme: Zwei Gruppen von Partikeln mit Matrizen $\mathbf{A}_1, \mathbf{A}_2$

Für Vereinigung der Gruppen reformuliere (1) zu:

$$\mathbf{A} = \sum_i m_i \mathbf{x}_i \bar{\mathbf{x}}_i^T - M \mathbf{c} \bar{\mathbf{c}}^T \quad (2)$$

Definiere für einen einzelnen Partikel Matrix \mathbf{A}_i

Nutze (2), um das Massezentrum jedes \mathbf{A}_i zu einem Globalen zu verschieben ...

$$\mathbf{A} = \sum_i (\mathbf{A}_i + m_i \mathbf{x}_i \bar{\mathbf{x}}_i^T - m_i \mathbf{c} \bar{\mathbf{c}}^T)$$

$\bar{\mathbf{x}}_i \rightarrow$ Ruheposition

$\mathbf{x}_i \rightarrow$ Akt. Position

$m_i \rightarrow$ Masse

$M = \sum_i m_i$

$\mathbf{c} \rightarrow$ Massezentrum

$\mathbf{R} \rightarrow$ Rotation

Verallgemeinertes Shape Matching



... und (1) verallgemeinert zu:

$$\mathbf{A} = \sum_i (\mathbf{A}_i + m_i \mathbf{x}_i \bar{\mathbf{x}}_i^T) - M \mathbf{c} \bar{\mathbf{c}}^T$$

$\bar{\mathbf{x}}_i \rightarrow$ Ruheposition

$\mathbf{x}_i \rightarrow$ Akt. Position

$m_i \rightarrow$ Masse

$M = \sum_i m_i$

$\mathbf{c} \rightarrow$ Massezentrum

$\mathbf{R} \rightarrow$ Rotation

Verallgemeinertes Shape Matching



Zur Berechnung der Matrix eines Partikels mit orthonormaler Orientierungsmatrix \mathbf{R} integriere (1) über das Volumen des Partikels:

$$\mathbf{A}_{\text{sphere}} = \dots = \frac{1}{5} m r^2 \mathbf{R}$$

mit Radius r

$$\mathbf{A}_{\text{ellipsoid}} = \frac{1}{5} m \begin{bmatrix} a^2 & 0 & 0 \\ 0 & b^2 & 0 \\ 0 & 0 & c^2 \end{bmatrix} \mathbf{R}$$

mit Radien a, b, c

$\bar{\mathbf{x}}_i \rightarrow$ Ruheposition

$\mathbf{x}_i \rightarrow$ Akt. Position

$m_i \rightarrow$ Masse

$M = \sum_i m_i$

$\mathbf{c} \rightarrow$ Massezentrum

$\mathbf{R} \rightarrow$ Rotation

Verallgemeinerte positionsbasierte Dynamiken



Worum geht's?

→ Die zeitliche Entwicklung der Partikel!

Grundlegender Ablauf von PBD:

- 1 **Prognosephase:** Berechne voraussichtliche Position \mathbf{x}_p für jeden Partikel mittels explizitem Euler-Verfahren

$$\mathbf{x}_p \leftarrow \mathbf{x} + \mathbf{v}\Delta t$$

- 2 **Korrekturphase:** Der *Solver* korrigiert vorausgesagte Positionen, sodass sie eine Anzahl Bedingungen erfüllen
- 3 **Integrationsphase:** Aktualisiere Zustandsvariablen

$$\mathbf{v} \leftarrow (\mathbf{x}_p - \mathbf{x})/\Delta t$$

$$\mathbf{x} \leftarrow \mathbf{x}_p$$

\mathbf{x} → Akt. Position

\mathbf{x}_p → Prog. Posi.

\mathbf{v} → Geschwindigkeit

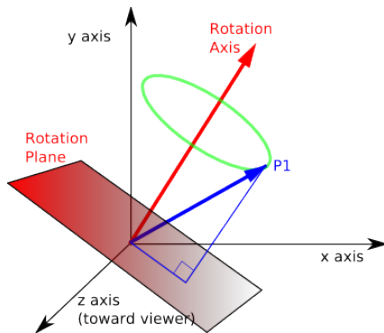
→ 3 Phasen/Zeitschritt

Integration



Partikel besitzen zusätzlich zu Position und Geschwindigkeit noch ...

- ein **Orientierungsquaternion** q
- eine **Rotationsgeschwindigkeit** ω



Integration



→ Erweiterung der **Prognosephase**:

$$\mathbf{x}_p \leftarrow \mathbf{x} + \mathbf{v}\Delta t$$

$$\mathbf{q}_p \leftarrow \left[\frac{\omega}{|\omega|} \sin\left(\frac{|\omega|\Delta t}{2}\right), \cos\left(\frac{|\omega|\Delta t}{2}\right) \right] \mathbf{q}$$

mit

$$\mathbf{q}_p \leftarrow \mathbf{q} \text{ für } |\omega| < \epsilon$$

\mathbf{x} → Akt. Position

\mathbf{x}_p → Prog. Posi.

\mathbf{v} → Geschwindigkeit

\mathbf{q} → Orient. Quat.

ω → Rot.-Geschwin.

Integration



→ Erweiterung der **Integrationsphase**:

$$\mathbf{v} \leftarrow (\mathbf{x}_p - \mathbf{x}) / \Delta t$$

$$\mathbf{x} \leftarrow \mathbf{x}_p$$

$$\omega \leftarrow \text{axis}(\mathbf{q}_p \mathbf{q}^{-1}) \cdot \text{angle}(\mathbf{q}_p \mathbf{q}^{-1}) / \Delta t$$

$$\mathbf{q} \leftarrow \mathbf{q}_p$$

mit `axis()` → normierte Richtung eines Quaternion

`angle()` → Winkel eines Quaternion

\mathbf{x} → Akt. Position

\mathbf{x}_p → Prog. Posi.

\mathbf{v} → Geschwindigkeit

\mathbf{q} → Orient. Quat.

ω → Rot.-Geschwin.

Reibung



Reibung? → Skalieren lineare Geschwindigkeit um konstanten Faktor s nach unten!

Bei Kollision modifiziere lineare und Rotationsgeschwindigkeit:

$$\mathbf{v} \leftarrow \mathbf{v} + (\mathbf{v}_s - \mathbf{v}) \perp_{\mathbf{n}} \cdot s_{lin}$$

$$\omega \leftarrow \omega + \frac{\mathbf{r}}{|\mathbf{r}|^2} \times (\mathbf{v}_s - \mathbf{v} - \omega \times \mathbf{r}) \cdot s_{rot}$$

mit $\mathbf{v}_s \rightarrow$ Geschwindigkeit und

$\mathbf{n} \rightarrow$ Normale des Objekts am Punkt des Auftreffens

$$s_{lin} \in [0 \dots 1], s_{rot} \in [0 \dots 1]$$

$\mathbf{v} \rightarrow$ Geschwindigkeit

$\omega \rightarrow$ Rot.-Geschwin.

$\mathbf{r} = r\mathbf{n}$

$r \rightarrow$ Radius

$s \rightarrow$ Reibungsfaktor

Reibung



Ganz ähnlich bei Kollision von zwei Partikeln:

$$\mathbf{v}_1 \leftarrow \mathbf{v}_1 + \left(\frac{\mathbf{v}_1 + \mathbf{v}_2}{2} - \mathbf{v}_1 \right) \perp_{\mathbf{n}} \cdot s_{lin}$$

$$\mathbf{v}_2 \leftarrow \mathbf{v}_2 + \left(\frac{\mathbf{v}_1 + \mathbf{v}_2}{2} - \mathbf{v}_2 \right) \perp_{\mathbf{n}} \cdot s_{lin}$$

$$\omega_1 \leftarrow \omega_1 + \frac{\mathbf{r}_1}{|\mathbf{r}_1|^2} \times (\mathbf{v}_{avg} - \mathbf{v}_1 - \omega_1 \times \mathbf{r}_1) \cdot s_{rot}$$

$$\omega_2 \leftarrow \omega_2 + \frac{\mathbf{r}_2}{|\mathbf{r}_2|^2} \times (\mathbf{v}_{avg} - \mathbf{v}_2 - \omega_2 \times \mathbf{r}_2) \cdot s_{rot}$$

$$\text{mit } \mathbf{n} = (\mathbf{x}_2 - \mathbf{x}_1) / |\mathbf{x}_2 - \mathbf{x}_1|$$

$$\mathbf{r}_1 = r\mathbf{n}, \mathbf{r}_2 = -r\mathbf{n}$$

\mathbf{v} → Geschwindigkeit

ω → Rot.-Geschwin.

r → Radius

s → Reibungsfaktor

Implizites Shape Matching



- Definiert eine Shape Matching Gruppe pro Partikel
- Gruppen beinhalten:
 - Korrespondierenden Partikel
 - Alle Partikel, die über einzelne Kante verbunden sind
- Nach Prognosephase iteriert *Solver* über alle SM-Bedingungen
- Berechne Zielpositionen
- Bewege alle Partikel der Gruppe Richtung ihrer Zielposition um einen Anteil in Abhängigkeit von $s_{\text{stiffness}}$
(→ Starrheit/Festigkeit, pro Partikel spezifizierbar)
- Aktualisiere Orientierung des Hauptpartikels

Streckung und Biegung



- SM modelliert Streckung & Biegung zugleich
- Auch separat spezifizierbar über Entfernungsbedingungen von PBD
- Bsp.: Zur Erhöhung der Biegsamkeit verringere Starrheit und aktiviere Entfernungsbedingung

Explizites Shape Matching



- Nutzer kann explizite SM-Gruppen spezifizieren
→ Kann beliebige Untermengen an Partikel umfassen
- Implizites SM nicht für explizite Gruppen
- **Alle** teilnehmenden Partikel erfahren gleiche SM-Rotation
(→ Starre Komponenten)
- Partikel in mehr als einer expliziten Gruppe gelten als nicht-orientiert
(→ Ermöglicht Gelenke)

Plastische Deformation



- Explizite SM-Gruppen auch deformierbar
- Deformation, sobald einer der Gruppenpartikel an Kollision mit bestimmter Geschwindigkeit beteiligt
 - Deaktiviere kurzzeitig explizite Gruppe
 - Implizites SM

Torsionswiderstand

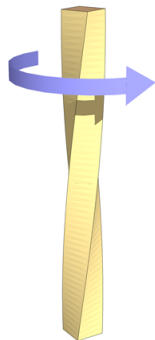


→ Iteriere über alle Kanten und aktualisiere Rotationen benachbarter Partikel:

$$\mathbf{q}_1 \leftarrow \text{slerp}(\mathbf{q}_1, \mathbf{q}_2, \frac{1}{2} s_{\text{torsion}})$$

$$\mathbf{q}_2 \leftarrow \text{slerp}(\mathbf{q}_2, \mathbf{q}_1, \frac{1}{2} s_{\text{torsion}})$$

und $\text{slerp}(\mathbf{q}_1, \mathbf{q}_2, s)$ liefert \mathbf{q}_1 wenn $s = 0$, \mathbf{q}_2 wenn $s = 1$
sonst sphärische Interpolation der beiden

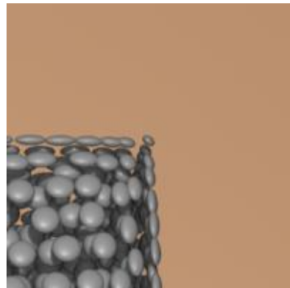
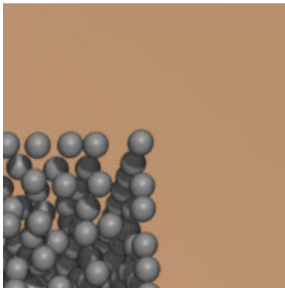
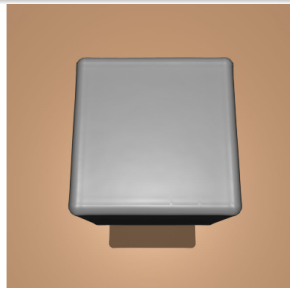
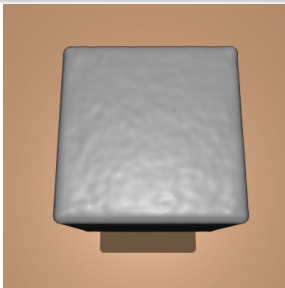


Kollisionsbewältigung

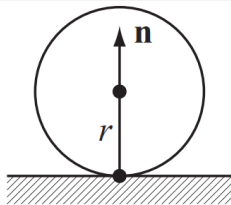


Sphären vs. Ellipsoide

Unebene Fläche
→ falsche Reibung
→ falsche Kollision

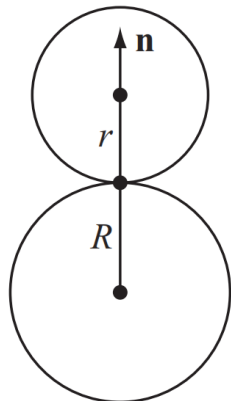


Ellipsoidkollision - Sphäre

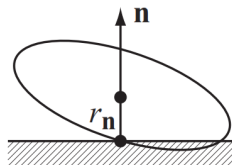


Kollision, wenn Partikel näher an Ebene/Sphäre als sein Radius r

→ Verschiebung des Partikels entlang der Ebenen/Sphärennormale \mathbf{n}

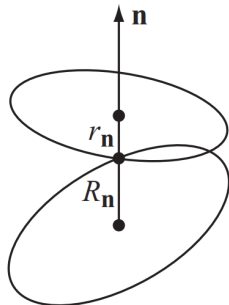


Ellipsoidkollision - Ellipsoid approximiert

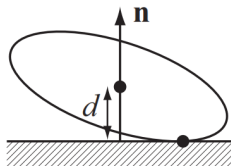


Kollision, wenn Partikel näher an Ebene/Sphäre als sein Radius in Richtung der Normalen r_n

→ Kollision nur korrekt, wenn n an Hauptachse des Ellipsoid ausgerichtet ist

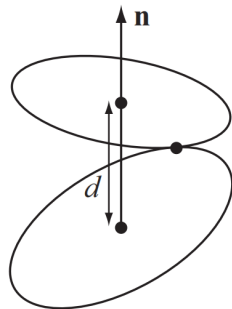


Ellipsoidkollision - Ellipsoid korrekt



Kollisionsbewältigung mit korrekter Distanz d

→ Zur Berechnung von d siehe Paper



Repräsentation von Objekten durch Ellipsoide



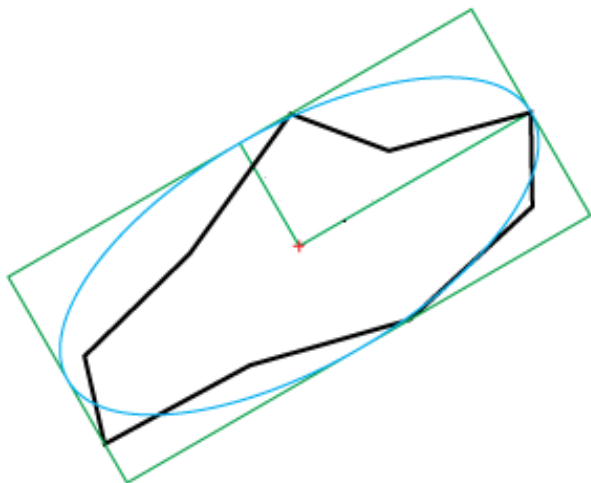
Ausgangspunkt: Nutzer hat Simulationspartikel platziert

- Nutze räumliches Hashing zur Findung überlappender Partikel
- Berechne **Hauptachsenrichtungen** ...
 - Finde alle Vertices innerhalb des Radius eines Partikels
 - Berechne Kovarianzmatrix der Vertexwolke
 - Nutze Polarzerlegung zur Bestimmung der Orientierung
 ~ Gewichtete Hauptkomponentenanalyse (WPCA)
- und **Radien**
 - Nutze Größe der Oriented Bounding Box (OOB) der Vertices

Repräsentation von Objekten durch Ellipsoide



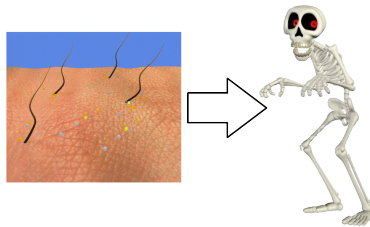
Anschauliches Beispiel:



Skinning des visuellen Gitternetzes



Was ist Skinning?



→ Zuordnung des visuellen
Gitternetzes zum zugrundeliegenden physikalischen Skelett

(→ Ellipsoide + Kanten)

→ Definiert die **sichtbare** Verformung eines Objekts

Skinning des visuellen Gitternetzes



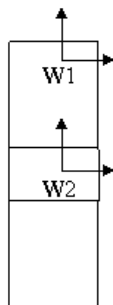
→ **Linear Blend Skinning** (LBS)

- Verbindungen & Gewichte zwischen Vertices und naheliegenden Partikeln
- Vertextransformation durch gewichteten Einfluss verbundener Partikel (→ gewichtetes Mittel)
- IdR ein bis zwei Verbindungen zu Partikeln
- Mehr als 4 Verbindungen selten sinnvoll

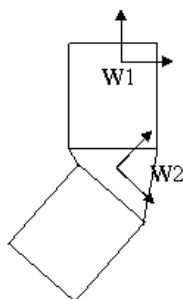
Skinning des visuellen Gitternetzes



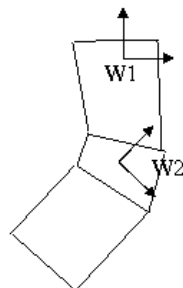
Einfaches Beispiel:



Ungebeugtes Knie,
2 Gelenke



Gebeugtes Knie, je-
der Vertex mit **einem**
Gelenk verbunden

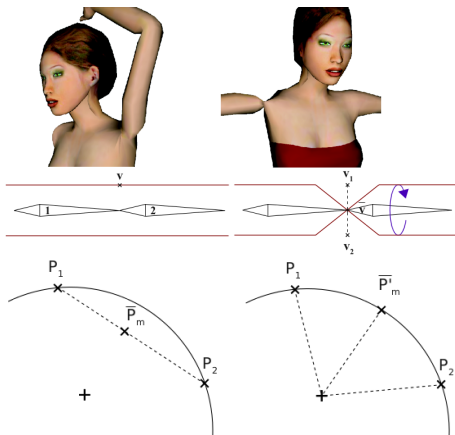


Gebeugtes Knie,
mehr als eine Verbin-
dung pro Vertex

Skinning des visuellen Gitternetzes



Mögliche Alternative → **Dual Quaternion Skinning (DQS)** (DQS)



Candywrapper-Artefakt

Candywrapper schematisch

Links: Mittelung der Punkte
(LBS)

Rechts: Mittelung der Winkel
(DQS)

Simulationsframework



Designtool für physikalische Repräsentation von grafischem Gitternetz:

- 1 Simulationspartikel durch Spraytool
(auch einzeln → Präzision)
- 2 Kanten mit Spraytool
(auch einzeln, kürzer als spezifische Distanz)
- 3 Skinninggewichte automatisch

Simulationsframework



Weitere Tools:

- Partikel- & Torsionsfestigkeit
- Explizite SM-Gruppen
- Skinninggewichte anpassen
- Ellipsoide automatisch einfügen

Ergebnisse



Für Simulationen verwendete Hardware:

- 1 Kern von Intel Core2 @ 2.4 GHz
- NVIDIA Quadro FX 5800

Ergebnisse - Tintenfisch



Hier war Teil 1 von Video:

<http://www.youtube.com/watch?v=LRHqs4GJuCA>

Ergebnisse - Tintenfisch



Physikalisches Gitternetz:

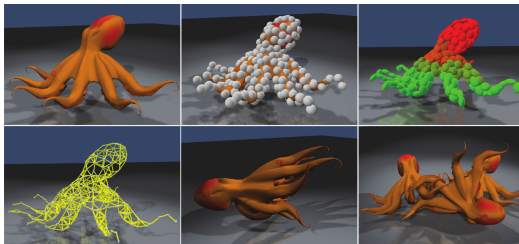
- 300 Partikel
- 750 Kanten

Visuelles Gitternetz:

- 5k Vertices
- 10k Dreiecke

Zeitaufwand:

- Simulation des Modells mit Selbstkollision → 4 ms
- Skinning & Rendering → 6 ms
- 3 interagierende Tintenfische (Solver) → 10 ms



Ergebnisse - Feuerfisch



Hier war Teil 2 von Video:

<http://www.youtube.com/watch?v=LRHqs4GJuCA>



Ergebnisse - Feuerfisch

Physikalisches Gitternetz:

- 1k Partikel
- 3.5k Kanten

Visuelles Gitternetz:

- 30k Vertices
- 48k Dreiecke

Zeitaufwand:

- Skinning → 9 ms
- Solver → 10 ms



Ergebnisse - Feuerfisch



Hier waren Ausschnitte von Video:

<http://www.youtube.com/watch?v=AUyCCR0DkAA>

Ergebnisse - Monstertruck



Hier war Teil 3 von Video:

<http://www.youtube.com/watch?v=LRHqs4GJuCA>

Ergebnisse - Monstertruck



Physikalisches Gitternetz:

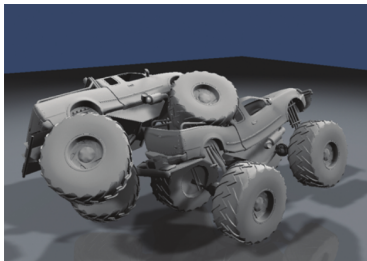
- 300 Partikel
- 800 Kanten

Visuelles Gitternetz:

- 63k Vertices
- 100k Dreiecke

Zeitaufwand:

- Skinning → 30 ms
- 2 interagierende Trucks (Solver)
→ 8 ms



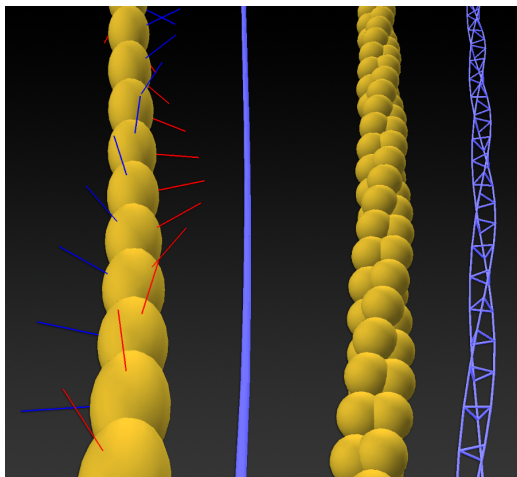
Ergebnisse - Seil



Hellblau: Kantenstruktur
Rot: Orientierung

Rechts:

- 6x mehr Partikel
- 6x mehr Zeit



Fazit



Pro:

- Neue Methode zur Festkörpersimulation mit nur wenigen Partikeln
- SM auch in dünnen Bereichen durch Orientierungs- und Rotationsinformationen
- Neue Info auch für Kollisionsvolumen und Skinning nützlich
- Vielseitige physikalische Modelle in Minuten

Contra:

- Variable Zeitschritte schwer zu realisieren
- Physikalisches Verhalten abhängig von Netzgeometrie
→ keine Konvergenz
(→ Problematisch bei auto. Generierung von Modellen
unterschiedliche Auflösung für Laufzeitabschätzung)

Referenzen



- <http://www.matthiasmueller.info/publications/orientedparticles.pdf>
- <http://www.youtube.com/watch?v=LRHqs4GJuCA>
- <http://www.youtube.com/watch?v=AUyCCRODkAA>
- <http://www.mit-heiler-haut.de/05/fotos/Ani-Intakte-Haut.jpg>
- http://de.123rf.com/photo_13177445_illustration-von-einem-gl-cklichen-skelett-cartoon-auf-weissem-hintergrund.html
- http://graphics.ucsd.edu/courses/cse169_w05/3-Skin.htm
- <http://irit.fr/~Rodolphe.Vaillant/?e=29>
- <http://www.seas.upenn.edu/~ladislav/papers/sdq-tog08/sdq-tog08.pdf>
- http://www.cc.gatech.edu/~turk/my_papers/sph_surfaces.pdf
- http://www.beosil.com/download/MeshlessDeformations_SIG05.pdf
- <http://www.euclideanspace.com/maths/algebra/realNormedAlgebra/quaternions/geometric/axisAngle/>
- http://upload.wikimedia.org/wikipedia/commons/4/4f/Twisted_bar.png